

Einführung in Monte-Carlo-Simulationsmethoden: vom Ising-Modell zur Gittereichtheorie Teil 1: Ising-Modell

Georg Bergner

TPI FSU Jena
WWU Münster

Organisatorisches

- Zwei Blöcke: 1) Ising-Modell, 2) $SU(2)$ Yang-Mills-Theorie
- Vorlesung und Übungen: Praktische Einführung zur konkreten Implementierung

Ziele:

- Kritische Phänomene in Spin-Modellen
- Monte-Carlo Simulationen: Metropolis-Algorithmus
- Eichtheorie und Eichprinzip
- Simulationen nicht-perturbativer Effekte (Confinement)

Organisatorisches

Online-Kurs:

- Vorlesung: 27.4. (10:00-11:30), 29.4. (15:00-16:30), 7.5. (10:00-11:30)
- Übungen: 30.4. (10:00-11:30), Aufgaben und erste Hilfestellungen
- Übungen: 4.5. (10:00-11:30), Lösungen/weiter Hilfestellungen (Diskussion per shared screen)
- Übungen: 6.5. (15:00-16:30), Weiterführende Aufgaben, Hilfestellungen
- Vorlesung am 29.4.: Als Test, Aufzeichnung im LearnWeb

LearnWeb: sim_ising_20

Motivation und Aufbau der Vorlesung

Ziel ist Quantenfeldtheorie auf dem Gitter:

- Teilchenphysik: relativistische Quantentheorie
- Pfadintegral-Formulierung
- Nicht-perturbative Methode: Simulationen auf Raum-Zeit-Gitter

Zugang über klassische statistische Mechanik:

- Raum-Zeit-Gitter (euklidisch) \leftrightarrow Kristall-Gitter
- Pfad $x(t)$ \leftrightarrow Spin-Konfiguration
- $\exp(-S_E[x]/\hbar) \leftrightarrow \exp(-H(\{s\})/(k_B T))$
- Kontinuums limites \leftrightarrow kritische Phänomene (Phasenübergänge)

Ziel der ersten Vorlesung: Ising-Modell

- Verständnis der Physik des Modells
- Einführung der thermodynamischen Größen und Observablen für die Simulation
- Verständnis der analytischen Ergebnisse, die als Vergleich für die Numerik dienen
- Einführung analytischer Verfahren, die ein vergleichbares Gegenstück in der QFT haben

Das Ising-Modell

Vereinfachte Darstellung eines Ferromagneten:

- elementare Magneten (Spins $s_x \in \{-1, 1\}$) in einem Kristall-Gitter
- Beobachtung für $T < T_c$ (Curie-Temperatur): spontane Magnetisierung
- Erste Näherung: nur Nächste-Nachbarn-Wechselwirkung

$$H(\{s_x\}) = -J \sum_{\langle x,y \rangle} s_x s_y - h \sum_x s_x$$

$\langle x, y \rangle$ Paare von nächsten Nachbarn; h externes magnetisches Feld

- ferromagnetisch: $J > 0$, antiferromagnetisch $J < 0$

Das Ising-Modell, historische Anmerkungen

- 1920: W. Lenz, E. Ising: Lösung in 1D (keine spontane Magnetisierung)
- 1936: R. Peierls: Beweis für spontane Magnetisierung in 2D
- 1944: L. Onsager: Analytische Lösung in 2D

In $D > 2$ keine analytische Lösung.

Näherungsverfahren:

- Hoch- und Tieftemperaturentwicklung
- Mean-Field-Näherung
- Numerische Simulation . . .

Ising-Modell hat sich zu einem Standard-Modell für die statistische Physik entwickelt, an dem immer wieder neue Methoden getestet werden. (Auch modernste Verfahren wie conformal bootstrap oder tensor networks.)

Beschreibung des kanonischen Ensembles

- Gitter Λ : $x = (x^1, \dots, x^d)$, $x^\mu = n^\mu a$, $n^\mu = 1, \dots, N^\mu$,
 $L^\mu = aN^\mu$, $V = \prod_{\mu=1}^d L^\mu$, (hier $a = 1$)
- Spin an jedem Gitterpunkt: $s_x \in \mathcal{T}$, Ising-Modell: $\mathcal{T} = \{-1, 1\}$
- Konfiguration $w = \{s_x | x \in \Lambda\}$, $w : \Lambda \rightarrow \mathcal{T}^V = \mathcal{T} \times \mathcal{T} \times \dots$
- Thermische Zustandssumme ($\beta = 1/(k_B T)$)

$$Z_V(\beta, J, h) = \sum_{\{s_x\}} \exp(-\beta H(\{s_x\}))$$

- P Wahrscheinlichkeit für Konfiguration $\{s_x\}$ im thermischen Ensemble:

$$P(\{s_x\}, \beta, J, h) = \frac{1}{Z_V(\beta, J, h)} \exp(-\beta H(\{s_x\}))$$

Thermodynamische Größen

- thermische Mittelwerte von Observable O

$$\langle O \rangle_V(\beta, J, h) = \frac{1}{Z_V(\beta, J, h)} \sum_{\{s_x\}} O(\{s_x\}) \exp(-\beta H(\{s_x\}))$$

- z. B. (makroskopische) Magnetisierung im Volumen V :

$$M_V = \frac{1}{V} \sum_x s_x; \quad \langle M \rangle_V = -\frac{\partial}{\partial h} f_V(\beta, J, h)$$

- Freie Energie, freie Energiedichte

$$F_V(\beta, J, h) = -\frac{1}{\beta} \log Z_V(\beta, J, h); \quad f_V(\beta, J, h) = \frac{1}{V} F_V(\beta, J, h)$$

Thermodynamische Größen

- innere Energie

$$U_V(\beta, J, h) = \langle H \rangle = -\frac{1}{Z_V} \frac{\partial}{\partial \beta} \sum_{\{s_x\}} \exp(-\beta H(\{s_x\})) = -\frac{\partial}{\partial \beta} \log Z_V(\beta, J, h)$$

- magnetische Suszeptibilität

$$\chi_M = \frac{\partial}{\partial h} \langle M \rangle_V = \beta(\langle M^2 \rangle_V - \langle M \rangle_V^2)$$

- spezifische Wärme

$$C_V = \frac{1}{V} \frac{\partial}{\partial T} U_V = \langle H^2 \rangle - \langle H \rangle^2$$

Korrelationsfunktionen und Korrelationslänge

- Korrelationsfunktionen

$$G^{(n)}(x_1, \dots, x_n) = \langle s_{x_1} s_{x_2} \dots s_{x_n} \rangle$$

- Zweipunkt-Korrelationsfunktionen

$$G^{(2)}(x_1 - x_2) = \langle s_{x_1} s_{x_2} \rangle \sim \exp(-|x_1 - x_2|/\xi)$$

wobei ξ die Korrelationslänge ist.

- für große Abstände: Clustering

$$\langle s_{x_1} s_{x_2} \rangle \approx \langle s_{x_1} \rangle \langle s_{x_2} \rangle$$

- Daher für $\langle M \rangle \neq 0$:

$$\tilde{G}^{(2)}(x_1 - x_2) = \langle s_{x_1} s_{x_2} \rangle - \langle s_{x_1} \rangle \langle s_{x_2} \rangle \sim \exp(-|x_1 - x_2|/\xi)$$

Phasendiagramm des Ising-Modells

Externes Magnetfeld:

- Anordnung der Spins entlang dem Magnetfeld, thermische Fluktuationen wirken entgegen

$h \rightarrow 0$:

- niedrige Temperatur: geordnete Spins, spontane Magnetisierung ($M_{+/-}$ für $h \rightarrow 0_{+/-}$)
- hohe Temperatur: thermische Fluktuationen, ungeordnete Spins

Zwischen beiden Phasen kann es einen Phasenübergang (T_c) geben.

Kritisches Verhalten

- Entscheidend für kritisches Verhalten sind die Größen im thermodynamischen Limes $f = \lim_{V \rightarrow \infty} f_V$

Phasenübergänge, Ordnungsparameter ($\langle M \rangle$) zeigt kein analytisches Verhalten

- erster Ordnung: Diskontinuität von erster Ableitung der Zustandssumme (Ordnungsparameter)
- zweiter Ordnung: zweite Ableitung der Zustandssumme zeigen nicht stetiges Verhalten (Suszeptibilität oder spezifische Wärme)

Kritische Exponenten charakterisieren universelles Verhalten

$$\langle M \rangle \sim \varepsilon^\beta;$$

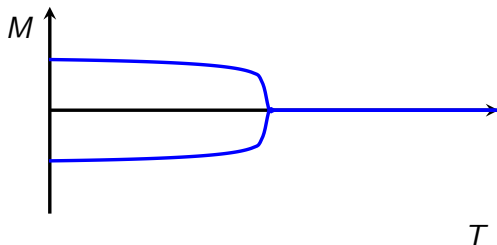
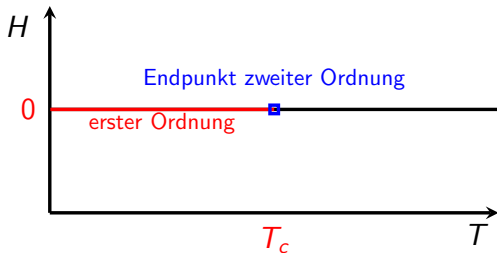
$$\chi_M \sim \varepsilon^{-\gamma}$$

$$C_V \sim \varepsilon^{-\alpha},$$

$$\varepsilon = \frac{|T - T_c|}{T_c}$$

$$\xi \sim \varepsilon^{-\nu}$$

Phasendiagramm des Ising-Modells



Ising-Modell in einer Dimension

Ising-Kette, periodische Randbedingungen, ($K = \beta J$)

$$H(\{s_x\}) = -J \sum_{x=1}^N s_x s_{x+1} - h \sum_{x=1}^N s_x$$

$$\begin{aligned} Z_V(\beta) &= \sum_{s_1, s_2, \dots, s_N} e^{K s_1 s_2 + \frac{1}{2} \beta h (s_1 + s_2)} e^{K s_2 s_3 + \frac{1}{2} \beta h (s_2 + s_3)} \dots \\ &= \sum_{s_1, s_2, \dots, s_N} T_{s_1 s_2} T_{s_2 s_3} \dots T_{s_N s_1} = \text{tr} T^N \end{aligned}$$

Transfermatrix ($s = \{+1, -1\}$):

$$T = \begin{pmatrix} e^{K+\beta h} & e^{-K} \\ e^{-K} & e^{K-\beta h} \end{pmatrix}$$

Lösung des Ising-Modells in einer Dimension

Diagonalisierung der Transfermatrix:

$$T = RDR^{-1}; \quad R = \begin{pmatrix} \cos \gamma & -\sin \gamma \\ \sin \gamma & \cos \gamma \end{pmatrix}; \quad D = \begin{pmatrix} \lambda_+ & 0 \\ 0 & \lambda_- \end{pmatrix}$$

$$\lambda_{\pm} = e^K \left(\cosh \beta h \pm \sqrt{\sinh^2 \beta h + e^{-4K}} \right)$$

$$\sin 2\gamma = \frac{e^{-2K}}{\sqrt{\sinh^2 \beta h + e^{-4K}}}; \quad \cos 2\gamma = \frac{\sinh \beta h}{\sqrt{\sinh^2 \beta h + e^{-4K}}}$$

Zustandssumme

$$Z_V(\beta) = \text{tr } T^N = \lambda_+^N + \lambda_-^N = \lambda_+^N (1 + p^N); \quad p = \frac{\lambda_-}{\lambda_+} < 1$$

Thermodynamik der Ising-Kette

Diagonalisierung der Transfermatrix:

$$f_V = -\frac{1}{\beta} \log \lambda_+ - \frac{1}{\beta N} \log(1 + p^N) \rightarrow_{N \rightarrow \infty} f = -\frac{1}{\beta} \log \lambda_+$$

$$\langle M \rangle = \frac{1 - p^N}{1 + p^N} \cos 2\gamma \rightarrow_{N \rightarrow \infty} \frac{\sinh \beta h}{\sqrt{\sinh^2 \beta h + e^{-4K}}}$$

Spontane Magnetisierung nur im Grenzfall $T \rightarrow 0$

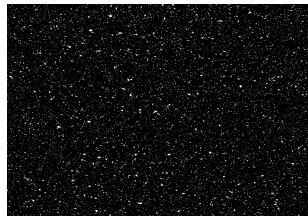
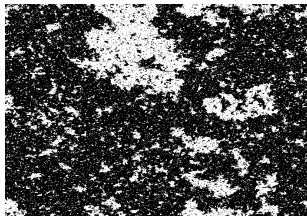
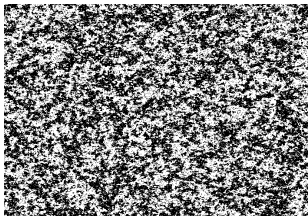
- U wird durch Ausrichtung aller Spins verringert
- $s_x \rightarrow -s_x$ für Teil der Spins ergibt $\Delta U = 4J$ an Grenze
- Aber: Entropiegewinn $\Delta S = k_B \log N$, da N mögliche Positionen der Grenze

⇒ keine geringere $F = U - TS$ für ausgerichtete Spins

Zweidimensionales Ising-Modell

- 1936 Kurz nachdem Wilhelm Lenz und Ernst Ising keinen Phasenübergang in 1D gefunden hatten: Beweis für seine Existenz in 2D ($T_c > 0$)
- 1941 Kramers und Wannier T_c aus Dualitäts-Transformation Argument basiert auf Analyse von Regionen mit ausgerichteten Spins
- 1944 Lars Onsager: exakte Lösung durch Transfermatrix-Methode

Zweidimensionales Ising-Modell in numerischer Simulation



- Konfigurationen für $K = 0.4$, $K \approx K_c$, $K = 0.5$ (700×700 Gitter)
- In Simulationen zeigt sich Übergang vom geordneten zu ungeordneten Zustand
- $T \approx T_c$ Skaleninvarianz, Domänen auf jeder Größen-Skala

Lösung von Onsager

Umfangreiche Rechnung, Formel für die freie Energie:

$$-\beta f = \log \cosh(2K) - 2K + \frac{2}{\pi} \int_0^{\frac{\pi}{2}} d\theta \log \left(1 + \sqrt{1 - \kappa^2 \sin^2 \theta} \right)$$
$$\kappa = \frac{2 \tanh(2K)}{\cosh(2K)}$$

$u(T)$, C_V als Funktion von elliptischen Integralen; Singularität von C_V zeigt Phasenübergang bei $2K_c = \log(1 + \sqrt{2})$ an.

Magnetisierung:

$$T > T_c: \langle M \rangle = 0$$

$$T < T_c: \langle M \rangle = (1 - \sinh^{-4}(2K))^{1/8}$$

Näherungsverfahren für das Ising-Modell

Neben numerischen Methoden wurde noch eine Reihe weiterer Verfahren für das Ising-Modell etabliert.

- Mean-Field-Näherung
- Hochtemperatur-Entwicklung
- Tieftemperatur-Entwicklung

Problem bei Entwicklungen: Darstellung von nicht-analytischem Verhalten bei T_c

Tiefemperatur-Entwicklung

Betrachte Anregungen von vollständig geordneten Zustand $E_0 = -dVJ - Vh$ und berücksichtige die Anzahl dieser Konfigurationen. Spins im Volumen X umgeklappt: Spins in Volumen $n = |X|$, Rand von Volumen (Paare mit unterschiedlichen Vorzeichen) $p = |\partial X|$

$$Z_V = e^{-\beta E_0} \sum_{n,p} z^n u^p G_V(n, p), \quad z = e^{-2\beta h}, \quad u = e^{-2\beta J},$$

G_V Zahl der Konfigurationen mit n und p .

Alternativ ($h = 0$): $H = E_0 + 2J \sum_{\langle x,y \rangle} (1 - \delta(s_x, s_y))$

$$Z_V = e^{-\beta E_0} \sum_{s_x} e^{-2\beta J n_f[\{s_x\}]}$$

n_f Zahl der Bonds mit unterschiedlichen Vorzeichen

Tiefemperatur-Entwicklung

$$Z_V = e^{-\beta E_0} (1 + Vz u^4 + 2Vz^2 u^6 + V(z^4 + 6z^3 + (V - 5)z^2/2)u^8 + \dots)$$

Aus Ableitung von f ergibt sich Magnetisierung

$$\langle M \rangle = 1 - 2zu^4 - 8z^2u^6 - (8z^4 + 36z^3 - 10z^2)u^8 + \dots$$

Kritische Temperatur lässt sich aus dem Konvergenzradius der Reihe ableiten.

$$\langle M \rangle = \sum a_l u^{2l} \sim \left(1 - \frac{u^2}{u_c^2}\right)^\beta$$

Tieftemperatur-Entwicklung

Konvergenzradius $R = \lim_{l \rightarrow \infty} \frac{a_l}{a_{l-1}}$, ergibt sich aus Fit von

$$\frac{a_l}{a_{l-1}} = \frac{1}{u_c^2} - \frac{1 + \beta}{u_c^2} \frac{1}{l}$$

Für $u_c(T_c)$ und β (kritischer Exponent).

Tieftemperaturentwicklung:

- Ansatz: Entwicklung um Konfiguration, die H minimiert
- Vergleichbar semiklassischer Näherung / Schwacher-Kopplungs-Entwicklung in QFT

Hochtemperatur-Entwicklung

Hohe Temperaturen, Entwicklung für $\beta \ll 1$

Naiv:

$$Z_V = \sum_{\{s_x\}} \prod_{\langle x,y \rangle} e^{Ks_x s_y} = \sum_{\{s_x\}} \prod_{\langle x,y \rangle} \left(1 + Ks_x s_y + \frac{(Ks_x s_y)^2}{2!} + \dots \right)$$

Summation über alle Konfigurationen: Beiträge mit ungeraden Anzahl von Spins an einem Gitterpunkt verschwinden.

$$Z_V = 2^V \left(1 + K^2 \frac{2V}{2} + \dots \right)$$

Hochtemperatur-Entwicklung

Effizientere Entwicklung (Entwicklung in Charakteren):

$$e^{Ks_x s_y} = \cosh(K)(1 + vs_x s_y), \quad v = \tanh(K)$$

$$Z_V = (\cosh K)^{2V} \sum_{\{s_x\}} \prod_{\langle x,y \rangle} (1 + vs_x s_y)$$

$$Z_V = (\cosh K)^{2V} 2^V (1 + Vv^4 + 2Vv^6 + \dots)$$

Hochtemperatur-Entwicklung

Die Entwicklung der Suszeptibilität ergibt sich aus einer Entwicklung für die Zweipunktsfunktion ($\langle M \rangle = 0$)

$$\chi = \frac{1}{V} \sum_{x,y} \langle s_x s_y \rangle$$

Es ergeben sich Graphen mit Einfügung von s_x und s_y .

$$\chi = 1 + 4v + 12v^2 + 36v^3 + 100v^4 + 276v^5 + 740v^6 + \dots$$

Hochtemperaturentwicklung vergleichbar Entwicklungen der Gitter-QFT

- „strong coupling“ Entwicklung
- Hopping-Parameter-Entwicklung

Mean-Field-Näherung

Ansatz der Mean-Field-Näherung:

- Ersetze Wechselwirkung benachbarter Spins durch Wechselwirkung mit mittlerem Feld
- Selbstkonsistenzgleichung für das mittlere Feld
- Faktorisierung des Boltzmann-Maßes
- Mean-Field-Näherung sagt Phasenübergang voraus
- Genauigkeit hängt von der Koordinationszahl ab: je mehr Spins Wechselwirken, desto besser die Genauigkeit

$$T_{c,mf} = 2dJ$$

Zusammenfassung

Ising-Modell

- Spielzeugmodell für Näherungen und numerische Verfahren
- Gitter-QFT: eng verwandt mit Physik statistischer Modelle
- 2D Ising-Modell: Durch exakte Vorhersagen Benchmark für Numerik und analytische Verfahren
- Aufgaben: Simulation und Vergleich mit Näherungen und exakten Ergebnissen.